МИНИСТЕРСТВО ПРИРОДНЫХ РЕСУРСОВ И ЭКОЛОГИИ РОССИЙСКОЙ ФЕДЕРАЦИИ
ФЕДЕРАЛЬНОЕ АГЕНТСТВО ПО НЕДРОПОЛЬЗОВАНИЮ

ГОСУДАРСТВЕННАЯ ГЕОЛОГИЧЕСКАЯ КАРТА РОССИЙСКОЙ ФЕДЕРАЦИИ масштаба 1 : 1 000 000

Третье поколение

АНАБАРО-ВИЛЮЙСКАЯ СЕРИЯ

КАРТА ЗАКОНОМЕРНОСТЕЙ РАЗМЕЩЕНИЯ И ПРОГНОЗА ПОЛЕЗНЫХ ИСКОПАЕМЫХ

R-48 (Хатанга)

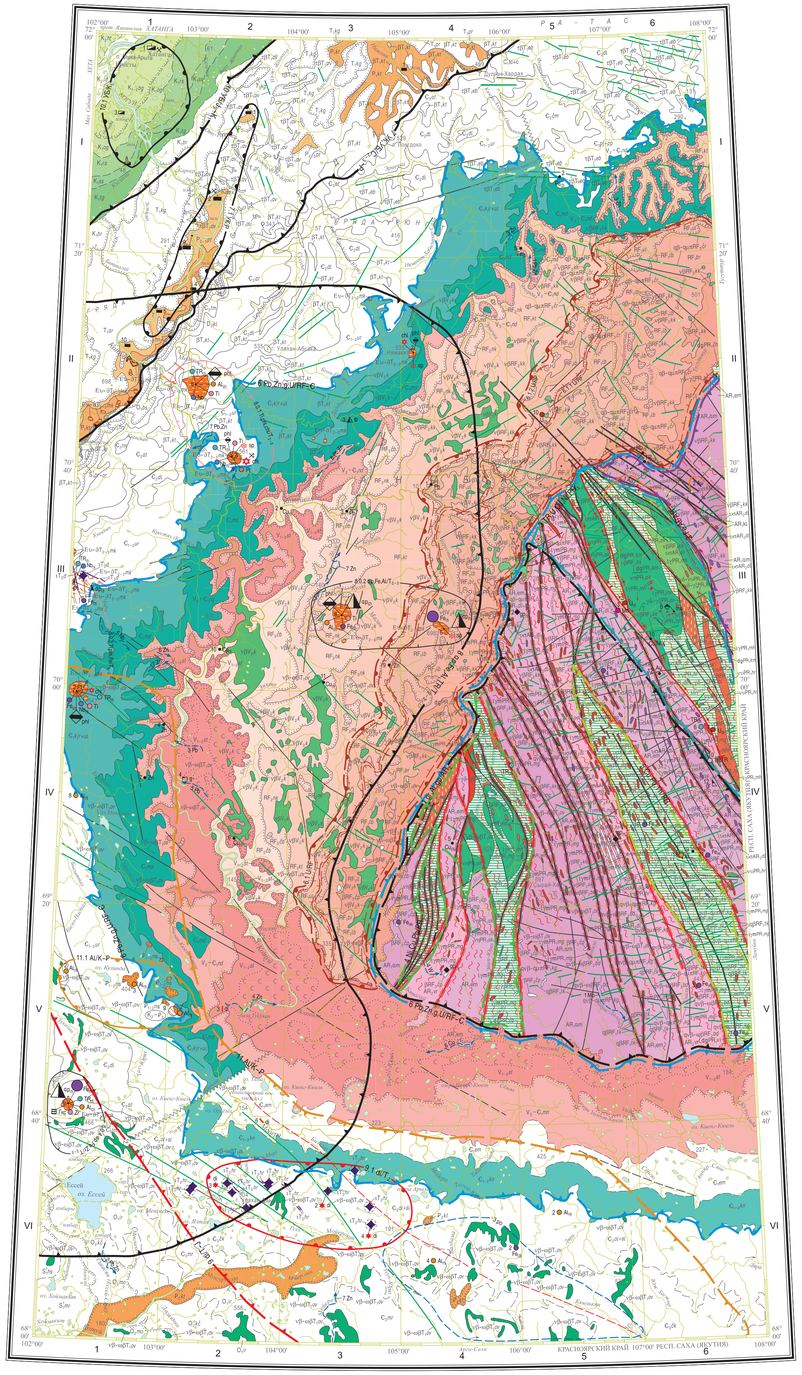

УСЛОВНЫЕ ОБОЗНАЧЕНИЯ

ПАЛЕОГЕН

ЭОЦЕН — P_2kt — Котуйская свита [I-A]. Чередование серых, до черного, тонкослоистых глин, темно-серых алевритов, светлых тонкозернистых песков (30 м). Потенциальные перспективы на бокситы

ПАЛЕОЦЕН–ЭОЦЕН — $P_{1-2}ns$ — Нижнеэнсидская толща [I-A]. Глины пестроокрашенные, буровато-желтые до вишнево-красных, с прослоями бокситов и песков (более 35 м). В карстовых воронках линзы и пласты бокситов и бокситоносных глин мощностью до 26,5 м

МЕЛ

Поздний

K_2ht — Хетская свита [II-A]. Пески, алевриты, прослои аргиллитов, глин и бурого угля с линзами песчаников, включениями янтаря и конкреции сидерита (90 м)

K_2ld — Ледяная свита [II-A]. Алевриты, глины с прослоями песков, встречаются конкреции известковистых песчаников и аргиллитов, тонкие прослои бурых углей (130–177 м)

Ранний–поздний

$K_{1-2}bg$ — Бегичевская свита [II-A]. Пески, песчаники, прослои и линзы аргиллитов, глин, бурых углей и окаменелой древесины, конкреции сидерита, в основании конгломераты (до 180 м)

Ранний

K_1og — Огневская свита [II-A]. Алевриты, пески, прослои песчаников, глины, пласты углей (до 180 м). 13 пластов бурых углей мощностью от 0,2 до 1,7 м

K_1rs — Рассохинская свита [II-A]. Пески с прослоями аргиллитов, песчаников, глин, углей (130–170 м)

K_1ss — Санга-салинская свита [II-A]. Аргиллиты с пластами песков, песчаников, глин, углей (30 м). 2 пласта бурых углей мощностью 0,9 и 1,5 м

K_1tg — Тигянская свита [II-A]. Пески, песчаники, алевриты, пласты и линзы бурых углей (100–120 м)

K_1br — Боярынская свита [II-A]. Пески, песчаники, прослои аргиллитов, глин (140–150 м)

Поздний

γT_3d — Далбыхский (котуйский) кимберлитовый комплекс [III-A]. Трубки взрыва, дайки. Кимберлиты массивные, преимущественно слюдистые, кимберлитовые эруптивные брекчии

ТРИАС

Средний–поздний

Майкяма-котуйский ийолит-карбонатитовый комплекс [III-A]
Многофазные интрузии центрального типа, штоки, дайки, жилы

$Eu\text{-}\partial\gamma T_{2-3}m$ — Шестая фаза. Непочкующиеся крупнодающие тела, штоки, дайки, жилы. Карбонатиты кальцитовые и доломитовые, карбонатитовые доломитовые брекчии. Породы фоскоритовой серии. Метасоматиты фенит-эгириновые, слюдиты, скарны. Месторождения и проявления апатит-магнетитовых руд с редкоземельным оруденением

Пятая фаза. Дуговые интрузии, штоки, дайки, жилы и линзы. Щелочные эгириновые и нефелиновые сиениты, фонониты, щелочные лампрофиры. Метасоматиты фенит-эгириновые, слюдиты, скарны

Четвертая фаза. Штоки, кольцевые дайки, жилы. Ийолиты, ийолит-пегматиты, микроийолиты. Метасоматиты фенит-эгириновые, слюдиты, скарны. Ийолиты – потенциально алюминиевые руды, метасоматиты – апатит-эгириновые высокотехнологичные силикатные руды

Третья фаза. Штоки, крутопадающие пластино- и воронкообразные тела, дайки. Якупираниты и мельилититы, меланефелиниты, малиньиты и шонкиниты

Вторая фаза. Кольцевые и непочкующиеся субвертикальные тела. Мелилитовые породы: уномиаргиты, турьиты, кудуриты, мелилитолиты

Первая фаза. Штоки, крупные блоки в относительно поздних дифференциатах. Оливиниты и рудные оливиниты, рудные пироксениты (ковдиты). Месторождения и проявления титана, железа, флогопита, хризолита, серпофита

Средний

γT_2fr — Харамайский кимберлитовый комплекс [III-B]. Трубки взрыва, штоки, дайки, жилы. Кимберлиты массивные и кимберлитовые брекчии, слюдяные кимберлиты, монтичеллит- и пироксен-содержащие слюдистые кимберлиты. Содержит многочисленные мелкие кристаллы алмазов

$\gamma\beta T_2av$, $\gamma\beta T_2av$, $\gamma\beta T_2eb$ — Авамский траховдиоритовый комплекс [III-A]. Дайки, штоки, субплластовые секущие тела, конолиты. Порфировые траховдиориты, трахиандезиты, монцонит-порфиры, жилки аплитов
Эбеляхинский траховдиоритовый комплекс [III-A, III-B]. Дайки, штоки. Порфировые траховдиориты, монцонит-порфиры, тешениты, жилки плагиоаплитов

Ранний

T_1kg — Коготокская свита [III-A]. Покровы тонкозернистых, часто миндалекаменных базальтов, прослои туфов, туффитов, местами туробрекчий (90–270 м)

$\nu\beta\text{-}\omega\beta T_1ov$, $\nu\beta\text{-}\omega\beta T_1ov$ — Оленёк-вилигнинский комплекс габбродиоритов и такситовых дуноритов [III-A, III-B]. Лополиты, кольцевые и конические интрузии, кольцевые и линейные дайки. Долериты и габбродолериты, габбродиориты, габбронориты, трахтолериты, биотит-оливиновые долериты, плагиоклазовые пироксениты. Проявления железа, графита. Потенциальные перспективы на медь и никель

T_1pr — Правоборбосная свита [III-A]. Туфы, туфобрекчии, туффиты, редкие покровы базальтов, прослои и линзы туфопесчаников, кварц-полевошпатовых песчаников, аргиллитов. Трубки взрыва туфобрекчий, ксенолакстолиты (до 220 м). Арыджанская свита (σ) [III-A]. Покровы щелочных базальтоидов, их туфы, туффиты (около 250 м)

βT_1kt, βT_1kt — Катангский долеритовый комплекс [III-A]. Силлы, дайки. Оливиновые и безоливиновые долериты и габбродолериты

ПЕРМЬ

БИАРМИЙСКИЙ-ТАТАРСКИЙ — $P_{2-3}pt$ — Потокойская свита [III-A]. Переслаивание песчаников с алевролитами, аргиллитами, прослои и пласты углей, местами прослои и линзы туфов, туффитов, брекчиевидных конгломератов (80–175 м). Месторождения и проявления каменных углей. До 18 пластов мощностью 0,2–1,7 м, максимальная до 3 м

ПРИУРАЛЬСКИЙ — P_1kt — Котуйская свита [III-A]. Песчаники, алевролиты, аргиллиты, пласты углей, в основании линзы конгломератов (170–220 м)

КАРБОН

СРЕДНИЙ-ПОЗДНИЙ — $C_2\text{-}_3hn$ — Хараснская свита [III-A]. Переслаивание аргиллитов, алевролитов, песчаников с прослоями углистых сланцев, углей, линзы конгломератов (25–100 м)

ДЕВОН

РАННИЙ — C_1lc+c — Терригенно-карбонатная и карбонатная толщи объединенные [IV-A]. Терригенно-карбонатная толща. Известняки и известковые доломиты, глинистые и алевритистые с подчиненными тонкими прослоями известково-доломитовых алевролитов и аргиллитов. В подошве известковые песчаники (13–22 м). Карбонатная толща. Известняки глинистые и органогенные коричневые, зеленовато-серые и серые, в верхней части желтые и светло-коричневые, пелитоморфные и песчанистые, с редкими прослоями глинистых алевролитов (8–27 м)

ПОЗДНИЙ — D_3ki — Капарогонская свита [IV-A]. Известняки, известковистые доломиты, доломитовые мергели, в нижней части зеленовато-серые мергели, мелкогалечные конгломераты (20–60 м)

СИЛУР

ПРИЛОБОРБОСКИЙ — $S_1pr\text{-}or$ — Правоавтыдяхская и ораничная свиты нерасчлененные [V-A]. Известняки и доломиты серые с прослоями пестроцветных, глинистых и алевритистых известняков и мергелей (30–90 м)

S_1hs — Хаастырская свита [V-Б]. Известняки, мергели с линзами органогенных известняков, в кровле чередование битумиозных и доломитовых известняков, в основании детритовые известняки (90–100 м)

S_1mr — Мойерокаанская свита [V-Б]. В нижней части аргиллиты углеродистые с прослоями мергелей и глинистых известняков, в верхней части известняки детритовые с линзами органогенных (105–115 м)

СРЕДНИЙ — O_3mo — Мойеронская свита [V-Б]. Известняки органогенные, мергели и аргиллиты серощветные и пестроцветные (50–60 м)

$O_3kč$ — Кочаанская свита [V-Б]. Мергели, алевролиты, аргиллиты и доломиты пестроцветные, чередующиеся с известняками органогенными, линзы и прослои гипсов (180–200 м)

РАННИЙ — O_1ir — Ирбуклинская свита [V-Б]. Известняки водорослевые, оолитовые и глинистые, доломиты, мергели (более 60 м)

O_1bs — Бысыюрюкская свита [V-А]. Красноцветные и зеленоцветные доломитовые мергели, глинистые доломиты, песчаистые доломиты, прослои и линзы мергелей, алевролитов, гипса, в основании – оолитовых доломитов и мелкогалечных конгломератов (90–115 м)

ОРДОВИК

ПОЗДНИЙ — C_3tm — Томпокская свита [VI-А]. Доломиты глинистые и песчанистые, прослои доломитовых мергелей, водорослевых, оолитовых и битумиозных доломитов (80–120 м)

C_3at — Атырдяхская свита [VI-А]. Доломиты, известковистые доломиты, глинистые доломиты, реже строматолитовые и кремнистые доломиты (250–270 м)

C_3mr — Маркинская свита [VI-В]. Известняки, реже доломиты, прослои пестроцветных глинистых, алевритистых водорослевых и оолитовых известняков, мергелей, доломитов и известковистых конгломератов (40–120 м)

$C_3čk$ — Чукукская свита [VI-В]. Известняки, часто глинистые и алевритистые с рассеянным гравием и галькой, линзы оолитовых и водорослевых известняков (170–180 м)

СРЕДНИЙ — C_2ol+sl — Олёнёкская, джахтарская и силгирская свиты объединенные [VI-В]. Олёнёкская свита. В нижней части серые, в верхней пестроцветные известняки, глинистые и алевритистые известняки, мергели, прослои обломочных известняков (70–150 м). Джахтарская свита. Ритмичное переслаивание пестроокрашенных мергелей, известняков и глинистых известняков (160–180 м). Силгирская свита. Известняки зеленоцветные алевритистые и глинистые с прослоями водорослевых и оолитовых известняков, мергелей, доломитов и известняковых конгломератов (330–360 м)

C_2dl — Далбыхская свита [VI-А, VI-Б]. Доломиты и глинистые доломиты, часто водорослевые и битумиозные, прослои известковистых доломитов и доломитовых известняков, линзы кремней (160–270 м)

$C_2čm$ — Чумакская свита [VI-Б]. Доломиты водорослевые, плитчатые, массивные, реже кавернозные и окремненные с редкими прослоями и линзами известковистых доломитов, гравелитов и доломитовых брекчий; по всему разрезу линзы и стяжения кремней (145–170 м)

РАННИЙ-СРЕДНИЙ — $C_{1-2}ur$ — Уркюнтасская свита [VI-А]. Доломиты светло-серые и коричневато-серые массивные, прослои и линзы известняков (210–220 м)

РАННИЙ — $C_1\text{-}_2kn$ — Куноамская свита [VI-В]. Известняки, глинистые и алевритистые известняки темно-серые и черные, битумиозные сланцы, мергели и доломиты (30–50 м). Потенциальные перспективы на урановую минерализацию. Частая вкрапленность галенита, сфалерита и халькопирита

$C_1p\text{-}pp$ — Парфен-юрякская, кизиг-юрякская и полгайская свиты объединенные [VI-Б]. Парфен-юрякская свита. Пестроцветные глинистые известняки, мергели и доломиты (25–80 м). Кизиг-юрякская свита. Желтовато-серые и белые массивные и плитчатые доломиты (50–70 м). Полгайская свита. Зеленовато-серые и коричневато-серые плитчатые доломитизированные известняки и доломиты (15–35 м)

$C_1kj\text{-}ul$ — Кундаюрякская и улахан-арымасская свиты объединенные [VI-А]. Кундаюрякская свита. Известняки, прослоями глинистые и доломитистые, доломиты известковые и глинистые (80–130 м). Улахан-арымасская свита. Доломиты глинистые массивные, линзы известняков, местами водорослевые (до 260 м). Спорадическая вкрапленность галенита и сфалерита

C_1em — Эмякситская свита [VI-В]. Пестроцветные глинистые известняки, прослои водорослевых и органогенно-обломочных известняков (180–300 м)

C_1md — Медвежинская свита [VI-А, VI-Б]. Кирпично-красные и фиолетово-красные известняки с прослоями мергелей (30–90 м). Проявления фосфоритов в пестроцветных известняках. Пункты минерализации свинца и цинка

ПОЗДНИЙ ВЕНД–РАННИЙ КЕМБРИЙ — $V_3\text{-}C_1nd$ — Немакит-далдынская свита [VI-А, VI-Б]. Пестроцветные известняки, глинистые известняки, доломиты, прослои мергелей, в основании кварцевые песчаники и доломито-кварцевые конгломераты (15–90 м). Маныкайская свита (m) [VI-В]. Пестроцветные глинистые доломиты и доломитизированные известняки, в основании конгломераты, в верхней части строматолитовые и онколитовые битумиозные известняки (70–130 м)

КЕМБРИЙСКИЙ

ПРОТЕРОЗОЙСКИЙ

ПОЗДНИЙ

ВЕНД

РАННИЙ–ПОЗДНИЙ — $V_{1-2}\delta\Gamma$ — Старореченская свита [VI-А, VI-В]. Доломиты пятнистые, битумиозные и строматолитовые, прослои алевритистых, песчанистых доломитов и песчаников, в средней части переслаивающиеся гипсы и гипсоносные пятнистые доломиты, в основании доломитовые брекчии, песчаники и конгломераты (до 250–300 м). Пласты гипса мощностью 10–20 м. Мелкая вкрапленность и тонкое прожилкование галенита и сфалерита

РИФЕЙ

ПОЗДНИЙ

$\beta RF_1\text{-}\partial p$ — Чопкинский комплекс кварцодержащих долеритов [VII-А]. Дайкообразные и неправильной формы секущие тела. Долериты оливин- и кварцодержащие, шпиры кварцодержащих габбродолеритов и габбро-пегматитов

$RF_2\text{-}\partial b$ — Чурбуюская свита [VII-А]. Доломиты коричневые, пестроцветные и зеленовато-серые строматолитовые и окремненные, онколитовые, прослои доломитовых брекчий, линзы песчаников, гравелитов, конгломератов (250 м). Мелкая вкрапленность и тонкое прожилкование галенита и сфалерита

СРЕДНИЙ

$\gamma\beta RF_1kk$, $\gamma\beta RF_1kk$ — Чиорюский комплекс кварцевых долеритов и кварцевых монцонит-порфиров [VII-А]. Дайки, штоки. Кварцевые долериты, габбродолериты, кварцевые монцонит-порфиры, кварцевые монцодиориты, жилки аплитов
Котуйканский комплекс кварцодержащих долеритов и габбродолеритов [VII-А, VII-Б]. Дайки, секущие пластообразные тела. Оливин- и кварцодержащие долериты, кварцодержащие габбродолериты, шпиры долерит-пегматитов, жилки аплитов. Отмечается обогащение габбродолеритов ильменитом и титаномагнетитом в верховьях р. Фомич

RF_2nk — Некоплохская свита [VII-А]. Доломиты коричневато-серые, строматолитовые, онколитовые, местами окремненные, прослои доломитовых брекчий, аргиллитов, алевролитов, песчаников, в основании гравелитистые песчаники (170–250 м). Присутствует спорадическая вкрапленность галенита и сфалерита

$\varphi\gamma\beta\text{-}\omega\beta RF_1\partial d$ — Будуурджайский комплекс кварцевых габбродолеритов и такситовых долеритов [VII-Б]. Дайки. Кварцевые габбродолериты, шпиры кварцевых габбродиоритов, жилки плагиоаплитов; такситовые долериты: оливиновые и безоливиновые долериты и габбродолериты, плагиоклазовые пироксениты, троктолориты

RF_1kt — Котуйканская свита [VII-А]. Доломиты коричневые, пестроцветные, онколитовые, прослои доломитовых брекчий, алевролитов, аргиллитов, песчаников, линзы кремней (390–450 м). Пункты минерализации свинца и цинка, а так же мелкая вкрапленность и тонкое прожилкование галенита и сфалерита

$\varphi\beta RF_1\check{t}k$ — Токурский комплекс кварцевых долеритов [VII-Б]. Дайки. Кварцевые долериты, жилки аплитов и плагиоаплитов

РАННИЙ

RF_1ul — Усть-ильинская свита [VII-А]. Переслаивание коричневых, темно-серых и зеленовато-серых песчаников, алевролитов и аргиллитов с прослоями доломитов (55–80 м). В пиритизированных тонкозернистых разновидностях отложений выявлены проявления урановой минерализации. Отмечается повышенная радиоактивность. Отмечается вкрапленность сульфидов – галенита и сфалерита

$RF_1\partial b$ — Лабаастахская свита [VII-А]. Песчаники, гравелиты полевошпат-кварцевые и кварцевые оранжевые, красно-бурые и зеленовато-серые, прослои конгломератов (170–175 м). Пункты минерализации свинца и цинка

$\varphi\beta\text{-}\omega\beta RF_1kg$ — Кенгердинский комплекс кварцевых габбродолеритов и кварцевых монцонит-порфиров [VII-Б]. Дайки. Кварцевые габбродолериты, кварцевые долериты, кварцевые габбродиориты, кварцевые монцонит-порфиры и кварцевые монцодиориты, жилки аплитов

RF_1br — Бурдуурская свита [VII-А]. Песчаники кварцевые железистые красно-бурые, розовато-серые, разнозернистые, линзы и прослои гравелитов с галькой (160–275 м). Присутствует вкрапленность галенита и сфалерита

RF_1il — Ильинская свита [VII-А]. Песчаники, гравелиты кварцевые красно-бурые, линзы конгломератов, в основании конгломерато-брекчии (186–240 м). В основании разреза коры выветривания, потенциально перспективные на урановую минерализацию типа "зон несогласия". Встречается вкрапленность галенита и сфалерита

$\gamma\gamma PR_1mh$, $\gamma\gamma PR_1mh$ — Монокитимский комплекс лейкократовых двуслюдяных гранитов [II-А-2, II-Б-3]. Мелкие пластообразные и линзовидные тела и тектонические блоки лейкократовых двуслюдяных гранитов с частыми гнездами и жилами мусковитовых пегматитов, реже аплитов и кварца. Проявления мусковита, кварца, керамического сырья

Метаморфические комплексы зон диафтореза

$dgPR_1\partial$, $dgPR_1vl$, $dgPR_1km$, $dgPR_1\partial h$ — Чурбуюкупауский мигматит-гнейсовый комплекс [III-А-2]. Мигматизированные и гранитизированные биотитовые и амфиболо-биотитовые гнейсы и амфиболиты, линзы карбонатных и высокоглиноземистых пород, широко развиты катаклазиты, бластокатаклазиты, милониты, релиты пород и минералов гранулитовой фации
Верхнеламуйский мигматит-гнейсовый комплекс [II-Б-1]. Мигматизированные биотитовые и биотит-амфиболовые гнейсы, слои биотит-гранатовых и биотит-силлиманитовых гнейсов, редко линзы кварцитов, катаклазиты, милониты и бластомилониты
Котуйкан-кокюйский мигматит-гнейсовый комплекс [II-Б-3]. Мигматизированные и гранитизированные биотитовые и биотит-амфиболовые гранатодержащие гнейсы, амфиболиты, кварциты и эпидот-хлорит-актинолитовые сланцы, высокоглиноземистые гнейсы, катаклазиты, бластомилониты, релиты пород и минералов гранулитовой фации
Ченгелях-хараский мигматит-гнейсовый комплекс [II-Б-5]. Мигматизированные и гранитизированные биотитовые и амфиболо-биотитовые гнейсы. Встречаются релиты пироксеновых гнейсов. Проявления урана и молибдена; потенциальные перспективы на медно-никелевую и свинцово-цинковую минерализацию, а так же торий и редкие земли

$\gamma\gamma PR_1mg$ — Маганский комплекс аласкит-лейкогранит-мигматитовый [II-А-1, II-А-2, II-А-3, II-Б-1, II-Б-2, II-Б-3]. Пластовые и линзовидные тела аласкитов и лейкократовых биотитовых гранитов среди мигматит-гранитов, гранито-гнейсов с частыми жилами пегматитов, аплитов и кварца. Проявления керамического сырья, потенциальные перспективы на редкие земли, уран, торий

$\gamma\gamma PR_1\check{t}k$ — Биллякский комплекс гранодиорит-граносиенитовый [II-А-2, II-Б-3, II-Б-5]. Массивы, пластообразные и линзовидные тела, жилы, конформные блоки. Гранодиориты, граносиениты, сиенит-диориты, порфировидностные граниты, гнейсограниты, лейкократовые биотитовые граниты, жилы пегматитов и аплитов. Потенциальные перспективы на уран, торий, редкие земли

$\nu\nu PR_1\partial k$ — Амбардах-хопкахский комплекс габбронорит-анортозитовый [II-А-1, II-А-2, II-А-3, II-Б-1, II-Б-2, II-Б-3]. Массивы и линзовидные тела. Анортозиты, лейкократовые габбро-анортозиты, габбронорит-анортозиты и норит-анортозиты. Пункты сульфидной медно-никелевой минерализации

$\nu\delta\text{-}\nu u PR_1\varepsilon$ — Саптаскский комплекс габбродиорит-габброноритовый [II-Б-3]. Массив. Габбродиориты, габбронориты, метагаббродиориты, лейкогаббро, габбро, кварцевые диориты. Потенциальные перспективы на сульфидную медно-никелевую минерализацию

$\nu\nu PR_1\check{t}v$ — Харгасинская серия. Вироборская толща [II-А]. Гиперстеновые, салитовые и двупироксеновые гнейсы и плагиогнейсы, чередующиеся с биотит-пироксен-амфиболовыми графитосодержащими гнейсами, биотит-гранатовыми, биотит-графит-гранатовыми и гиперстен-гранатовыми гнейсами и плагиогнейсами, силлиманитовыми и кордиеритовыми гнейсами, кальцифирами и мраморами (3,5–4,5 км). Проявления графита, железа, потенциальные перспективы на гранат и глинозем

$\nu u\gamma AR_1\partial l$ — Дальдынский комплекс метапериодотит-пироксенитовый [II-А, II-Б]. Будины и мелкие пластообразные тела пироксенитов, перидотитов, дунитов, горнблендитов. Потенциальные перспективы на сульфидную медно-никелевую минерализацию

$\varphi\text{-}m\check{z}AR_1\partial\Gamma$ — Анабарский комплекс эндербит-мигматит-чарнокитовый [II-А, II-Б]. Линзы плагиогранитов и плагиолепигматитов, пластообразные и линзовидные тела гиперстеновых гранитов, лейкократовых микроклиновых и биотитовых гранитов, гнейсогранаты, жилы пегматитов и аплитов

Верхнеанабарская серия

AR_1em — Эймяинская толща [II-А, II-Б]. Гиперстеновые и двупироксеновые плагиогнейсы с пачками и слоями амфибол-двупироксеновых кристаллических сланцев, биотит-гранатовых, гиперстен-гранатовых плагиогнейсов и гнейсов, графитодержащих кварцитов, амфиболитов и магнетитовых кристаллических сланцев (3,5–5,0 км). Проявления графита, железа, алюминия

$AR_1\partial m$ — Амбардахская толща [II-А, II-Б]. Двупироксеновые, гиперстеновые, амфибол-двупироксеновые и амфибол-гиперстеновые плагиогнейсы и гнейсы, редкие линзы пироксеновых кристаллических сланцев (4,0–4,5 км). Месторождения граната, проявления графита

AR_1kL — Дальнынская серия. Килегирская толща [III-Б]. Двупироксеновые и гиперстеновые плагиогнейсы с линзами и слоями пироксеновых и амфибол-пироксеновых кристаллических сланцев, гранатовых плагиогнейсов, редкие линзы магнетитовых кристаллических сланцев (1,5–2,0 км). Потенциальные перспективы на железо, графит

Вещественный состав пород

- Конгломераты, гравелиты, песчаники грубо- и крупнозернистые
- Галогенные породы (гипс, ангидрит)
- Лейкограниты (разнозернистые преимущественно двуслюдяные)
- Мигматиты и мигматизированные породы
- Гранитогнейсы и гранитизированные породы
- Тектониты (катаклазиты и милониты)
- Тектониты перекристаллизованные (бластокатаклазиты и бластомилониты)
- 9 Коры выветривания $K_2\text{-}P_1$ бокситоносные

Геологические границы:

- а согласного залегания стратиграфических подразделений и интрузивные контакты: а – достоверные, б – предполагаемые
- а несогласного залегания стратиграфических подразделений: а – достоверные, б – предполагаемые
- Литофациальные границы с постепенным переходом
- Граница между СФЗ с разным стратиграфическим расчленением отложений

Разрывные нарушения

Красным цветом показаны рудогенирующие разрывные нарушения

- Разломы главные достоверные
- Сбросы с указанием поднятого блока
- Сдвиги правые главные достоверные
- Сдвиги левые главные достоверные
- а б Разломы второстепенные: а – достоверные, б – предполагаемые
- а Трубки взрыва, сложенные породами ультраосновного и щелочно-ультраосновного составов: а – выходящие на картографируемую поверхность, б – скрытые под перекрывающими образованиями

МИНЕРАГЕНИЧЕСКИЕ ПОДРАЗДЕЛЕНИЯ

АНАБАРСКАЯ МИНЕРАГЕНИЧЕСКАЯ ПРОВИНЦИЯ
ПОЗДНЕАРХЕЙСКАЯ МИНЕРАГЕНИЧЕСКАЯ ЭПОХА

1 gr,Al,gp/AR_3 — Маганская графит-гранит-гнейсовая поздненархейская прогнозируемая минерагеническая зона

2 Fe,Au/AR_3 — Центрально-Анабарская гнейсово-железорудная позднеархейская прогнозируемая минерагеническая зона

РАННЕПРОТЕРОЗОЙСКИЙ МИНЕРАГЕНИЧЕСКИЙ ЭТАП

3 TR,U,Cu,Ni/PR_1 — Котуйкан-Монкоплохская медно-никелевая уран-редкоземельная раннепротерозойская прогнозируемая минерагеническая зона

4 Ni,Cu,Pb/PR_1 — Чурбукуплахская свинцово-медно-никелевая раннепротерозойская прогнозируемая минерагеническая зона

5 Cu,Pb,Th/PR_1 — Ламуйская торий-полиметаллическая раннепротерозойская прогнозируемая минерагеническая зона

ВОСТОЧНО-СИБИРСКАЯ МИНЕРАГЕНИЧЕСКАЯ ПРОВИНЦИЯ
РИФЕЙСКО-КЕМБРИЙСКИЙ МИНЕРАГЕНИЧЕСКИЙ ЭТАП

6 Pb,Zn,g,U/RF–C_1 — Анабарская ураноносная гипс-свинцово-цинковая рифейско-кембрийская прогнозируемая минерагеническая область

6.1 U/RF — Западно-Анабарская ураноносная рифейская прогнозируемая зона

6.11 U/RF — Мукунская потенциальная ураноносная зона

6.12 U/RF — Усть-Ильинская потенциальная ураноносная зона

СРЕДНЕКАМЕННОУГОЛЬНО-ПЕРМСКИЙ МИНЕРАГЕНИЧЕСКИЙ ЭТАП

7 УК,УБ/C_{2-3}–P — Тунгусский угленосный среднекаменноугольно-пермский бассейн

7.1 УК/P — Котуйский каменноугольный пермский район

ТРИАС-ЮРСКИЙ МИНЕРАГЕНИЧЕСКИЙ ЭТАП

8 αρ,Fe,Al,TR/T_{2-3} — Маймяма-Котуйская редкоземельно-гпинозем-железорудно-апатитовая средне-позднетриасовая минерагеническая область

8.0.1 Ti,gn,dl/T_{1-3} — Одокинча-Кудинский хризотил-флогопит-титановорудный средне-позднетриасовый рудный узел

8.0.2 αρ,Fe,Al/T_{1-3} — Маган-Бірасский гпинозем-железорудно-апатитовый средне-позднетриасовый рудный узел

8.0.3 Ti,ph,Fe/T_{1-3} — Далбыха-Бор-Уряхский железорудно-флогопит-титановорудный средне-среднетриасовый рудный узел

8.0.4 αρ,Fe/T_{1-3} — Есеейский щелочной-железорудно-апатитовый средне-позднетриасовый рудный узел

9 dl/T_3 — Котуй-Анабаро-Оленёнская алмазоносная триас-юрская прогнозируемая минерагеническая область

9.1 dl/T_3 — Харамайский алмазоносный среднетриасовый район

ПОЗДНЕЮРСКО-РАННЕМЕЛОВОЙ МИНЕРАГЕНИЧЕСКИЙ ЭТАП

10 УБ/J_3–K_1 — Ленский угленосный позднеюрско-раннемеловой бассейн

10.1 УБ/K — Хатангский буроугольный раннемеловой район

МЕЛ-ПАЛЕОГЕНОВЫЙ МИНЕРАГЕНИЧЕСКИЙ ЭТАП

11 Al/K–P — Прианабарская бокситоносная мел-палеогеновая прогнозируемая минерагеническая область

11.1 AL/K–P — Тукаланский бокситоносный мел-палеогеновый район

СХЕМА ПРОДУКТИВНОСТИ РУДНЫХ РАЙОНОВ И УЗЛОВ

Масштаб 1 : 2 500 000

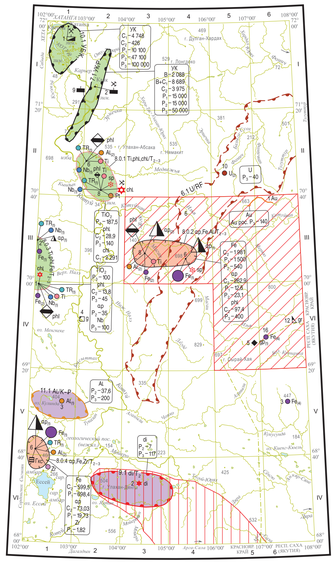

СХЕМА РАСПОЛОЖЕНИЯ МИНЕРАГЕНИЧЕСКИХ ПРОВИНЦИЙ

Масштаб 1 : 5 000 000

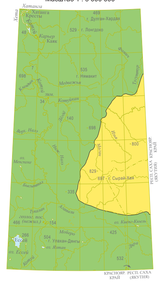

УСЛОВНЫЕ ОБОЗНАЧЕНИЯ

- Восточно-Сибирская минерагеническая провинция
- Анабарская минерагеническая провинция

СХЕМА АДМИНИСТРАТИВНОГО ДЕЛЕНИЯ

Масштаб 1 : 5 000 000

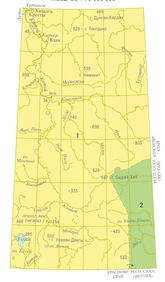

1 Красноярский край

2 Республика Саха (Якутия)

УСЛОВНЫЕ ОБОЗНАЧЕНИЯ

U / P_2–40 — Категории и величины прогнозных ресурсов и запасов для:

УК – уголь каменный в тыс. тонн
УБ – уголь бурый в тыс. тонн
Fe – железо в млн тонн
Ti – титан в млн тонн TiO_2
Al – бокситы в млн тонн
Zr – цирконий в млн тонн ZrO_2
Au – золото россыпное в кг
U – уран в тыс. тонн
Nb – ниобий в тыс. тонн Nb_2O_5
ap – апатит в млн тонн P_2O_5
ph – флогопит в тыс тонн
d – алмазы в млн карат
ch – хризолит в кг

Продуктивность рудных районов и узлов

- Высокая
- Средняя
- Низкая

Инфраструктура рудных районов и узлов малобпагоприятная

Рекомендуемые виды работ

- ГДП-200 на листах R-48-XV, XVI; R-48-XVII, XVIII; R-48-XXIII, XXIV
- Поисковые работы на алмазы с выходом за пределы листа R-48

Схема расположения листов Анабаро-Вилюйской серии

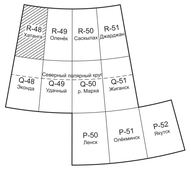

Карта составлена в ФГУП "ВСЕГЕИ"
Автор В.Т. КИРИЧЕНКО
Главный научный редактор М.С. МАЩАК
Сведения о полезных ископаемых даны на карте по состоянию на 1 января 2014 г.
Карта рекомендована к изданию НРС Роснедра 18 декабря 2014 г.
Эксперт НРС Б.А. Трифонов

Цифровая модель подготовлена в ФГУП "ВСЕГЕИ"
Составители: В.Т. Кириченко, Г.В. Лиленков

Карта оформлена и отпечатана на Картографической фабрике ВСЕГЕИ
Редакторы подготовки к изданию: картограф Г.Н. Паршина, геолог И.В. Котельникова
Технический редактор С.А. Радченко
Заказ 81114019. Тираж 150 экз. Подписана к печати 30.12.2015

© Роснедра, 2015
© ФГУП "ВСЕГЕИ", 2014
© В.Т. Кириченко, 2014
© Картографическая фабрика ВСЕГЕИ, 2015

Картографическая фабрика ВСЕГЕИ
199178, Санкт-Петербург, Средний пр., 72, Тел. 321-8121, факс 321-8153